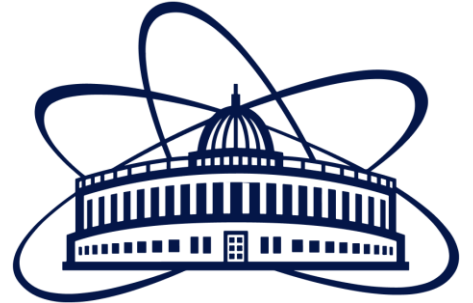


Joint Institute of Nuclear Research



# ELASTIC SCATTERING IN THE REACTIONS $^{48}\text{Ca} + ^{197}\text{Au}$ , $^{40}\text{Ca} + ^{197}\text{Au}$

Molotorenko K. D.<sup>1,2</sup>, Maslov V.A.<sup>1</sup>, Samarin V.V.<sup>1,3</sup>, Penionzhkevich Yu.E.<sup>1</sup>,

<sup>1</sup>*Flerov Laboratory of Nuclear Reactions, JINR, Dubna, Russia*

<sup>2</sup>*Voronezh State University, Voronezh, Russia*

<sup>3</sup>*Dubna State University, Dubna, Russia*

**E-mail:** molotorenkoksenia@gmail.com



# TASKS OF THE EXPERIMENTS

1. Conducting experiments on reactions of  $^{40}\text{Ca} + ^{197}\text{Au}$ ,  $^{48}\text{Ca} + ^{197}\text{Au}$  at energy 400 MeV.
2. Comparison of the influence of the structure of isotopes  $^{40}\text{Ca}$  and  $^{48}\text{Ca}$  on a heavy target under conditions of elastic scattering.
3. Analyzing experimental data in terms of the classical model for elastic scattering.
4. Conclusions about the structural differences of the  $^{40}\text{Ca}$  and  $^{48}\text{Ca}$  nuclei based on experimental data and interaction parameters.



# EXPERIMENTAL STUDY OF REACTIONS $^{40,48}\text{Ca} + {^{197}\text{Au}}$

Operating conditions for measuring elastic scattering:

- Angular resolution considering beam consumability at target  $\pm 0.6^\circ$ , recording of products in the range  $\theta_{\text{lab}} = 19^\circ - 67^\circ$  for  $^{40}\text{Ca}$ ,  $\theta_{\text{lab}} = 13^\circ - 53^\circ$  for  $^{48}\text{Ca}$ . This will allow to go down the section of elastic scattering in 5 orders
- The 1% energy resolution will provide an opportunity to separate elastic peak Ca from non-elastic ions;
- Intensity of the beam 50 nA.

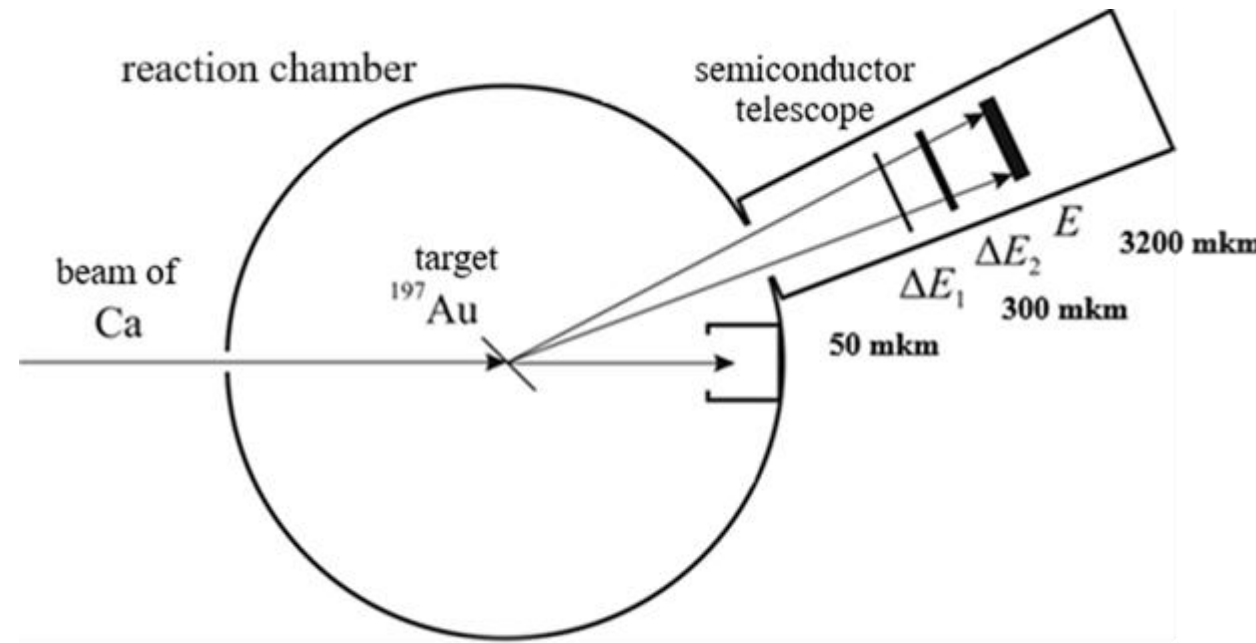
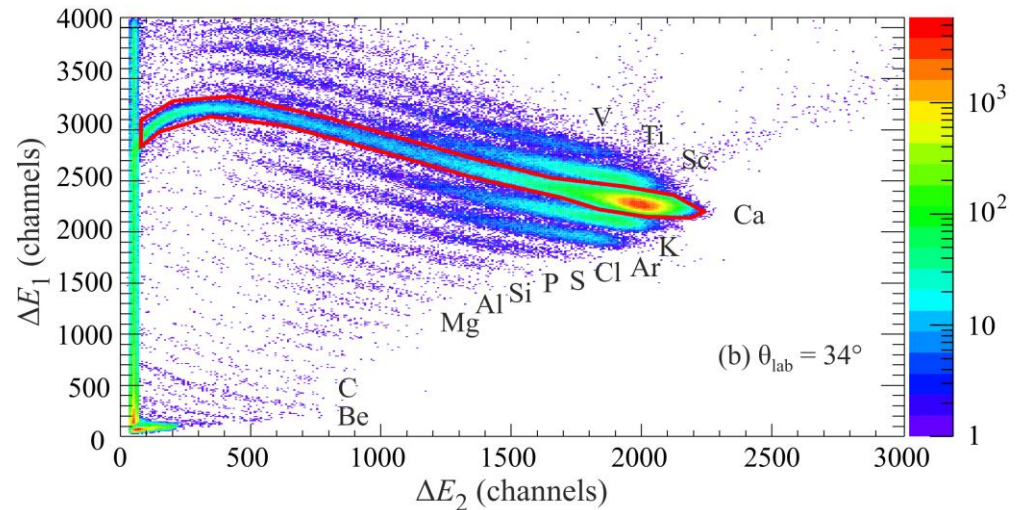


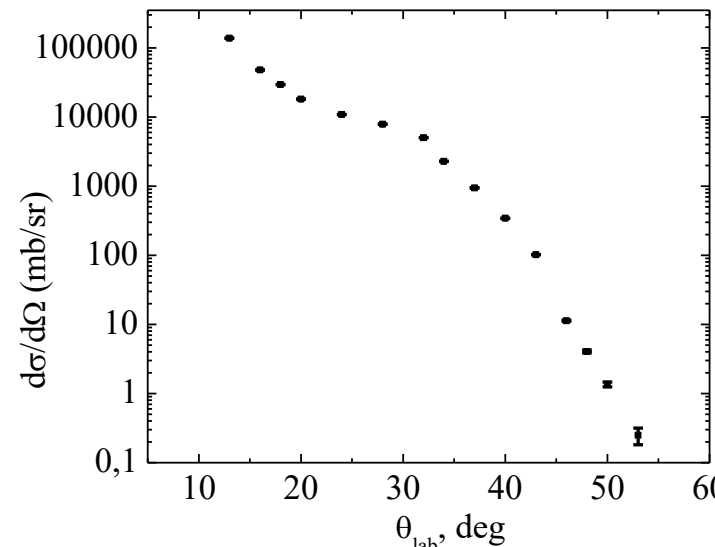
Fig.1. Schematic of the experimental setup  
c  $\Delta E$ - $E$  semiconductor telescope



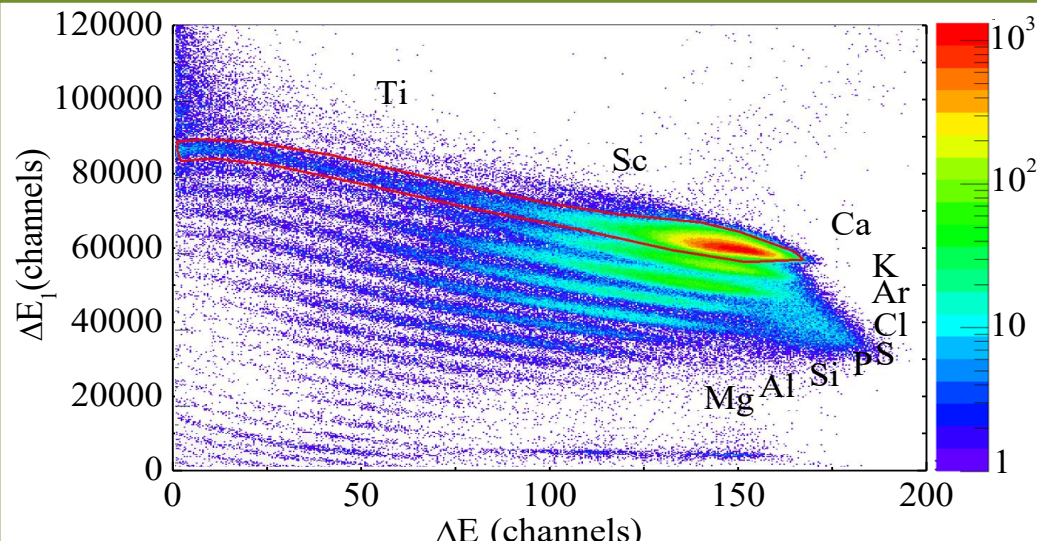
# EXPERIMENTAL DATA



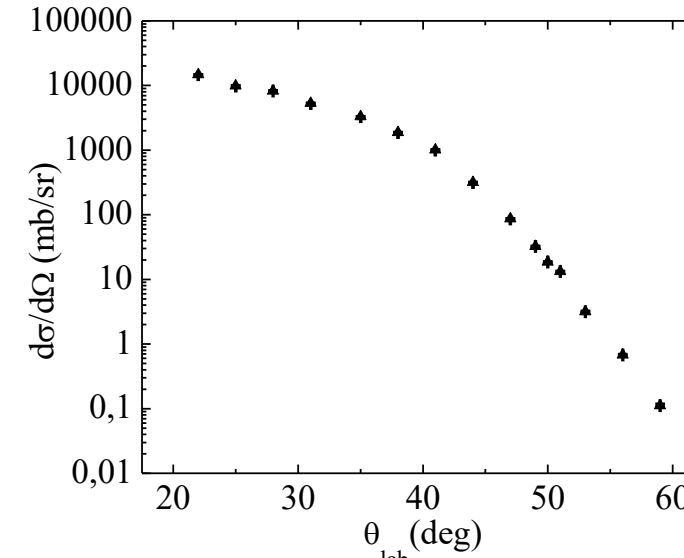
Identification matrix for  $^{48}\text{Ca} + ^{197}\text{Au}$   
on  $\theta_{\text{grazing}} = 34^\circ$  in lab. system



Angular distribution of  
elastic scattering nuclei  
 $^{48}\text{Ca}$  on  $^{197}\text{Au}$  in lab.  
system



Identification matrix for  $^{40}\text{Ca} + ^{197}\text{Au}$   
on  $\theta_{\text{grazing}} = 41^\circ$  in lab. system



Angular distribution of  
elastic scattering nuclei  
 $^{40}\text{Ca}$  on  $^{197}\text{Au}$  in lab.  
system



# SEMICLASSICAL APPROACH

The criterion for classical approach is usually the dimensionless Zommerfeld

parameter [1]:

$$\eta = \frac{Z_1 Z_2 e^2}{\hbar v}$$

where  $v$  – Initial relative velocity of nuclei (with their endless removal),  $e$  – electron charge.

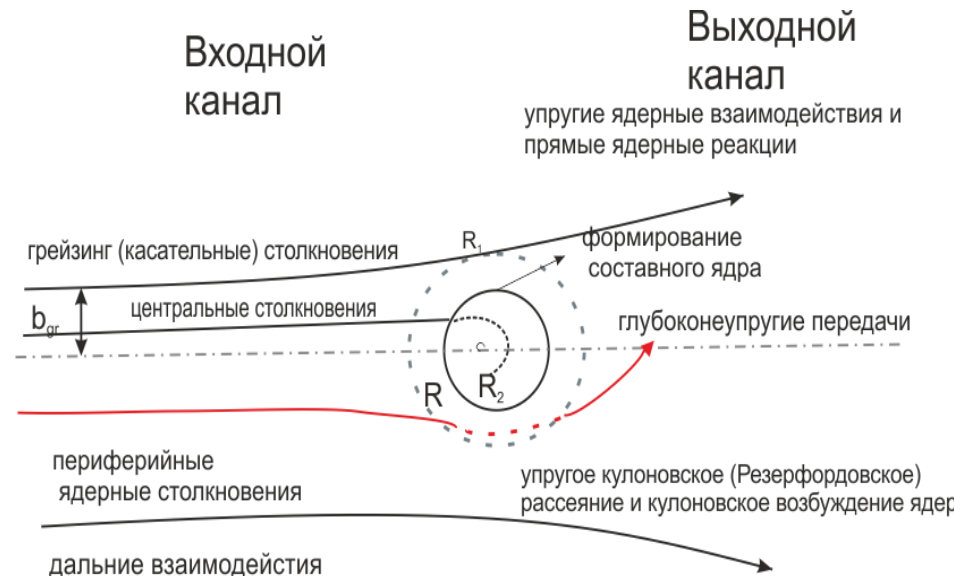
For  $^{40}\text{Ca}$ :  $\eta = 79$ , for  $^{48}\text{Ca}$ :  $\eta = 87$

This corresponds to the condition of application semi-classics

$$\eta \gg 1$$

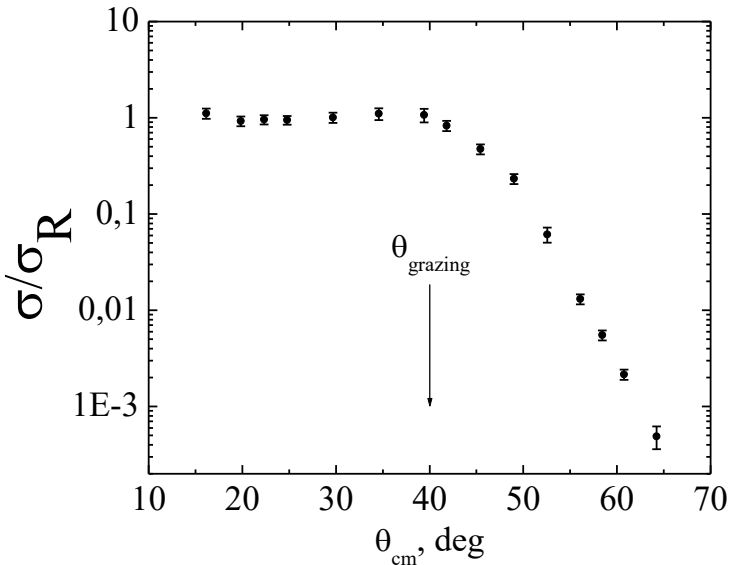
In this case the distance of closest approach in the Coulomb field is related to the scattering angle in the following way [2]:

$$D = \frac{a}{2} \left( 1 + \frac{1}{\sin(\theta_{\text{c.m.}}/2)} \right) = \frac{Z_1 Z_2 e^2}{2 E_{\text{c.m.}}} \left( 1 + \frac{1}{\sin(\theta_{\text{c.m.}}/2)} \right)$$



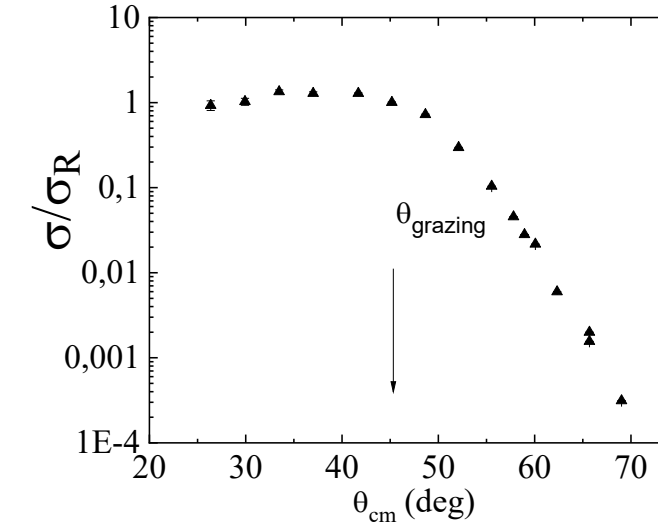
1. M.E. Brandan, G.R. Satchler Physics Reports 285 (1997) 143-243
2. P. R. Christensen, V. I. Manko, F. D. Becchetti and R. J. Nickl Nuclear Physics A207 (1973) 33--77

# ANALYZING DATA FOR REACTIONS $^{40,48}\text{Ca} + ^{197}\text{Au}$



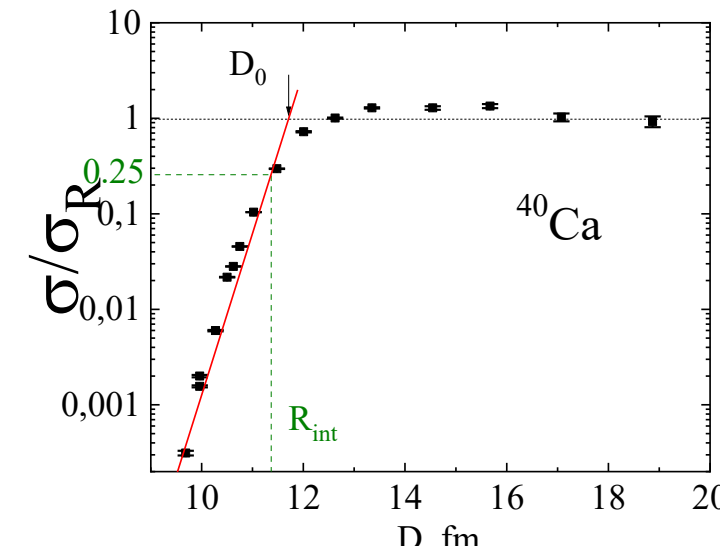
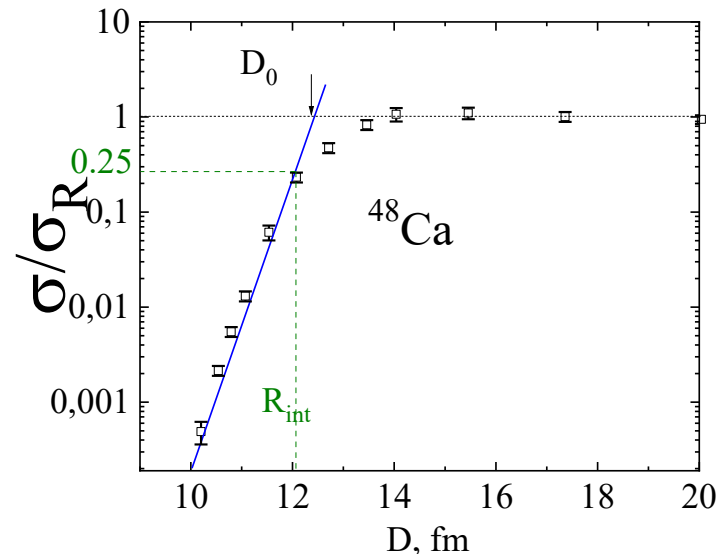
The ratio to the Rutherford's

For  $^{48}\text{Ca}$   
 $\theta_{\text{grazing}} = 40^\circ$  in  
center of mass  
system



For  $^{40}\text{Ca}$   
 $\theta_{\text{grazing}} = 45^\circ$  in  
center of mass  
system

The ratio  $\sigma/\sigma_R$  as a function of the distance of closest approach for Coulomb trajectories.  $R_{\text{int}}$  – interaction radius [3]



[3] Nuclear Physics A500 (1989)  
399-428

# SEMICLASSICAL PARAMETERS OF THE Ca<sup>40,48</sup> NUCLEI



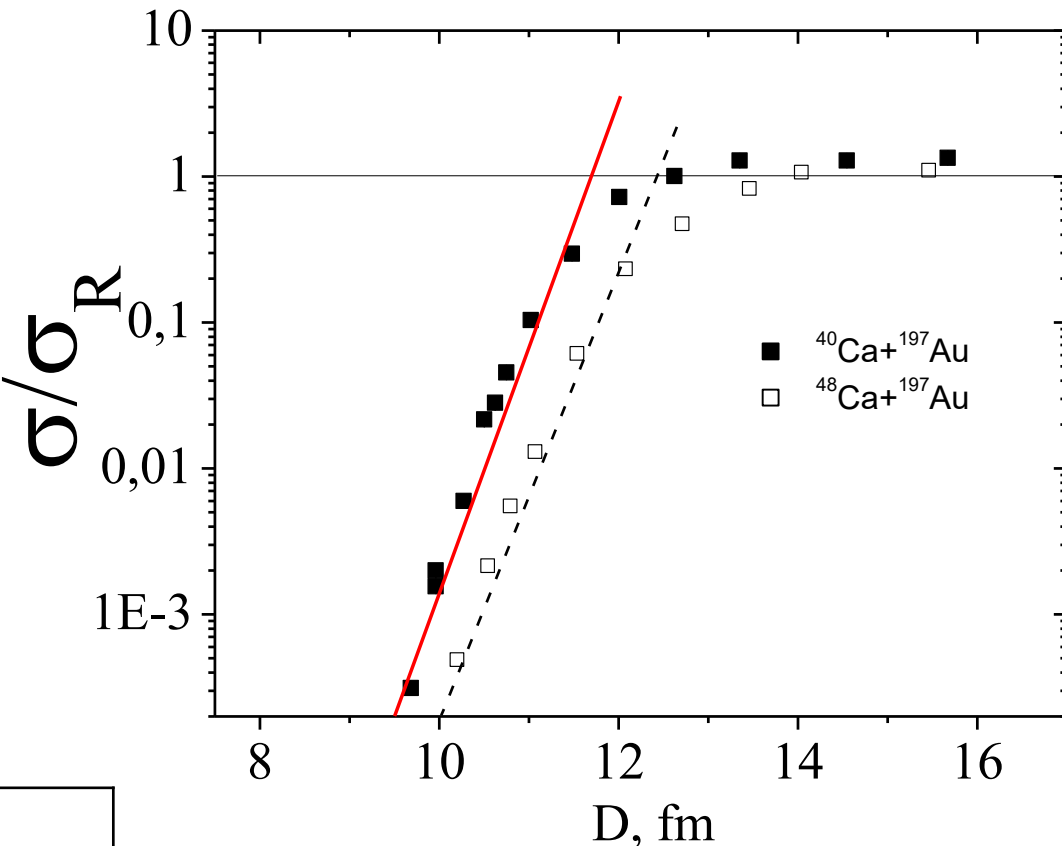
$$\left( \frac{d\sigma}{d\Omega} \right)_{el} / \left( \frac{d\sigma}{d\Omega} \right)_R = 1 - P_{\text{absorp}}(D), [4]$$

where  $P_{\text{absorp}}$  – absorption probability (exit from the elastic channel due to reaction)

$$P_{\text{absorp}}(D) = \begin{cases} 0, & D > D_0 \\ 1 - \exp\left(\frac{D - D_0}{\Delta}\right), & D \leq D_0 \end{cases}$$

## Calculated parameters:

Beam	Target	Lab energy (MeV)	$D_0$ (fm)	$\Delta$ (fm)	$R_{\text{int}}$
48Ca	<sup>197</sup> Au	400	12.46±0,03	0.33±0,09	12.12
40Ca	<sup>197</sup> Au	400	11.77±0,02	0.27±0,07	11.36



Comparison of  $\sigma/\sigma_R$  relations depending on the distances  $D$  for <sup>48</sup>Ca and Ca<sup>40</sup>. Continuous lines are defined by the approximation of points below  $D_0$



# CONCLUSION

1. For the first time, two reactions were compared in experiments studying elastic scattering on  $^{40}\text{Ca}$ ,  $^{48}\text{Ca}$  beams at an energy of 400 MeV on a  $^{197}\text{Au}$  target under the same experimental conditions.
2. The angular distributions of elastic scattering were measured in the angle range for  $^{40}\text{Ca}$ :  $\theta = 19^\circ - 67^\circ$ , for  $^{48}\text{Ca}$ :  $\theta = 13^\circ - 53^\circ$ , and it was possible to descend by 5 orders of magnitude in cross section.
3. In the experiment studying the reactions  $^{40}\text{Ca} + ^{197}\text{Au}$  and  $^{48}\text{Ca} + ^{197}\text{Au}$ , the experimental data were analyzed and the following **key semiclassical parameters** were obtained:

## Distance of closest approach for Ca nuclei to Au:

- $^{40}\text{Ca}$ :  $D_0=11.77 \text{ fm}$ ,
- $^{48}\text{Ca}$ :  $D_0=12.46 \text{ fm}$

## Diffuseness for Ca nuclei:

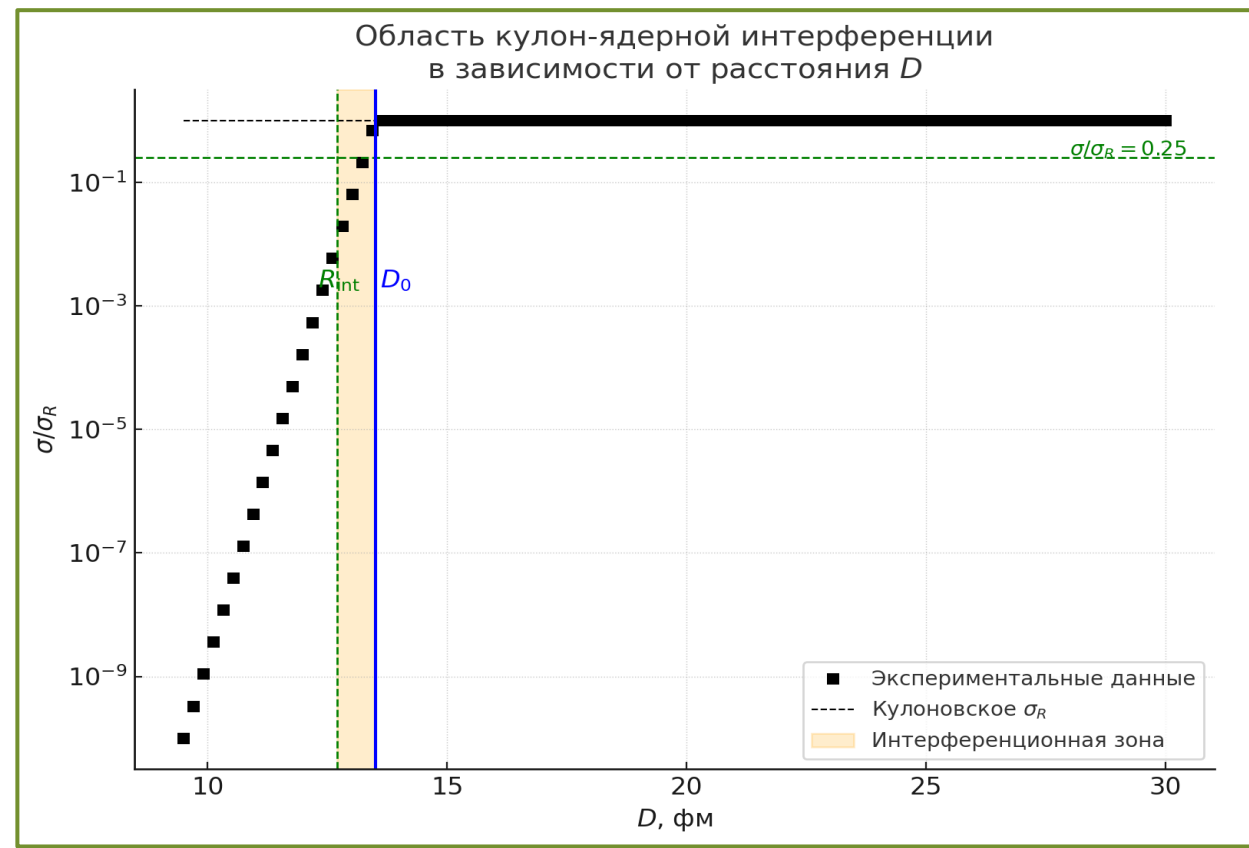
- Для  $^{40}\text{Ca}$ :  $\Delta=0.27 \text{ fm}$
- Для  $^{48}\text{Ca}$ :  $\Delta=0.33 \text{ fm}$

4.  $^{48}\text{Ca}$  interacts with  $^{197}\text{Au}$  **more softly and at larger distances** than  $^{40}\text{Ca}$ , as shown by increased  $D_0$ , surface **diffuseness**  $\Delta$ , and earlier deviation from Rutherford scattering. This smoother interaction likely stems from the neutron-rich, diffuse structure of  $^{48}\text{Ca}$  and is crucial for enhancing nucleon transfer and fusion, especially in reactions forming heavy and superheavy nuclei.



# THANKS FOR YOUR ATTENTION!

Thanks to Lukyanov S.M. , Shakhov A.V, Mendybaev K., Issatayev T., Aznabayev D.  
for their assistance in carrying out the measurements  
and I thank the Y-400 accelerator setup team for obtaining excellent  $^{40}\text{Ca}$ ,  $^{48}\text{Ca}$  beams.



# **Современные исследования, использующие квазиклассические методы**

- Systematic study of the surface diffuseness of nuclear potential with high precision large-angle quasi-elastic scattering**

*Nuclear Physics A, 2010*

В этом исследовании измерялись функции возбуждения квазизупрого рассеяния при больших углах для систем  $^{16}\text{O} + ^{208}\text{Pb}$ ,  $^{196}\text{Pt}$ ,  $^{184}\text{W}$  и  $^{154,152}\text{Sm}$  при энергиях ниже кулоновского барьера. Параметры диффузности ядерных потенциалов были извлечены как из одноканальных, так и из многоканальных расчетов.

- Nuclear surface diffuseness revealed in nucleon-nucleus diffraction**

*arXiv preprint, 2018*

Авторы обсуждают взаимосвязь между диффузностью ядерной поверхности и дифференциальным сечением упругого рассеяния при первом дифракционном пике в высокоэнергетическом рассеянии нуклон-ядеро.

Используется микроскопическая теория реакции, модель Глаубера, для описания высокоэнергетических реакций.

- The role of surface energy coefficients and nuclear surface diffuseness in the fusion of heavy-ions**

*arXiv preprint, 2010*

В этой работе обсуждается влияние коэффициентов поверхностной энергии и диффузности ядерной поверхности на потенциал сближения и, в конечном итоге, на слияние тяжёлых ионов. Авторы используют различные версии коэффициентов поверхностной энергии и анализируют их влияние на барьеры слияния.

- Elastic  $\alpha$  transfer in the  $^{16}\text{O} + ^{12}\text{C}$  scattering and its impact on the nuclear rainbow**

*The European Physical Journal A, 2020*

Исследуется упругое  $\alpha$ -переносное рассеяние в системе  $^{16}\text{O} + ^{12}\text{C}$  и его влияние на ядерную радугу. Используются полумикроскопические модели, включая потенциалы Вудса-Саксона, для анализа экспериментальных данных.

## Перспективы применения результатов

- Полученные параметры  $D_0$ ,  $\Delta$ ,  $R_{int}$  и угол  $1/4$  являются **экспериментально определяемыми характеристиками профиля взаимодействия** между тяжёлыми ядрами.
- Эти величины могут быть **использованы как входные данные** при:
  - построении **оптических потенциалов**,
  - моделировании **реакций передачи и слияния**,
  - оценке **эффективности пучков** (например, в синтезе сверхтяжёлых элементов).
- Особенno важны результаты по Ca-48, который остаётся одним из ключевых пучков в исследованиях экзотических и нейтронобогатых систем.
- Практическая польза результатов — в возможности **предварительной оценки "мягкости" бомбардирующего ядра** без необходимости проводить полный спектр реакций (передача, возбуждение, фрагментация).

Параметр	Что показывает
$D_0$	С какого расстояния начинается заметное взаимодействие
$\Delta$	Насколько резким или плавным является спад сечения
$R_{int}$	Где впервые появляется вклад ядерных сил
Угол $1/4$	Граница между чисто кулоновским и смешанным рассеянием
$\eta, \lambda, a$	Энергетические и геометрические параметры взаимодействия

# Сечение

$$\frac{d\sigma}{d\Omega} = \frac{N}{N_{beam} \cdot N_{tg} \cdot d\omega},$$

$N$  – число частиц – продуктов реакции,  $N_{beam}$  – число частиц пучка,  
 $N_{tg}$  – число частиц мишени,  $d\omega$  – телесный угол, зависящий от установки.